

دانشگاه رجستان  
دانشکده علوم  
گروه فیزیک

پایان نامه‌ی کارشناسی ارشد

## شبکه‌های اپتیکی برای گازهای کوانتمی فوق سرد و چگاله‌های بوز-اینشتین

سعیده حسنی

استاد راهنما:  
دکتر سعید قنبری

اسفند 1389

## تقدیر و تشکر از

دکتر قنبری، به سبب راهنمایی‌ها، صبوری و آموختن نگاهی متفاوت.

دکتر سعید، دکتر صرافی و دکتر عابدینی، به سبب دریغ نکردن اندیشه‌شان.

پدرم، با منطق جاری زندگی اش.

مادرم، با دوست داشتن بی‌قید و شرطش.

اعضای خانواده، با قسمت کردن شادی‌ها و لبخندهایشان.

دوستانم، شاهدان زیبارویی که هریک به نوعی در زندگی ام دلبری کرده‌اند.

و او، که ابتدا و انتهای همه‌ی این سپاس‌هاست.

## چکیده

شبکه های اپتیکی یا بلورهای مصنوعی نوری، که دارای صدها هزار میکرومتری اپتیکی هستند با استفاده از تداخل پرتوهای لیزری ایجاد می شوند. گازهای کوانتمی فوق سرد در شبکه های اپتیکی سامانه های مورد اطمینانی برای بررسی مسائل بنیادی فیزیک بس ذره ای هستند و کاربردهای فراوانی در اپتیک کوانتمی و پردازش اطلاعات کوانتمی، تولید مولکول های سرد با ماندگاری بالا و درک بهتر فیزیک اتمی مولکولی دارند. به دام اندازی اتم های فوق سرد در پتانسیل های مصنوعی تناوبی هم چون شبکه های اپتیکی و مغناطیسی دائم امکان کنترل و دست کاری سامانه های کوانتمی را بسیار فراتر از آنچه در سامانه های کوانتمی ماده چگال دیگر می توان یافت، فراهم نموده است. ما در این پژوهه به بررسی جدیدترین دستاوردها در زمینه ی گازهای کوانتمی فوق سرد در شبکه های اپتیکی خواهیم پرداخت.

## فهرست مطالب

صفحه

عنوان

### فصل اول:

1	چگالش بوز - اینشین
5	1-1 سامانه بوزونی ایدهآل
7	1-1-1 دمای گذار و کسر چگاله
9	2-1 پتانسیل نوسانگر هماهنگ سه بعدی
11	1-2-1 دمای گذار و سهم چگاله
13	3-1 چگاله‌ی بوز - اینشتین در پتانسیل توانی
16	4-1 چگالش بوز - اینشتین در ابعاد پایین تر
17	5-1 کمیت‌های ترمودینامیکی
19	1-5-1 گرمای ویژه در نزدیکی $T_c$

### فصل دوم

23	به داماندازی و سردسازی اتم‌ها
23	1-2 ساختار اتمی
25	2-2 اثر زیمان
29	3-2 تله‌های مغناطیسی
32	1-3-2 تله‌ی چهارقطبی

34 .....	TOP تله‌ی 2-3-2
36 .....	میکروتله 3-3-2
41 .....	4- اتم در حضور میدان الکتریکی 2
45 .....	1- برهم‌کنش اتم با نور لیزر 2-4
48 .....	2- نیروی وارد بر اتم در میدان لیزری 2-4
49 .....	3- تله‌های اپتیکی 2-4
50 .....	5- سردسازی لیزری 2-5
55 .....	6- تله‌ی مغناطیسی- اپتیکی 2-6
57 .....	7- سردسازی تبخری 2-7

### **فصل سوم**

61 .....	گازبوزونی غیر یکنواخت در دمای صفر
61 .....	1- برهم‌کنش در چگاله‌ی بوز- اینشتین 3-1
64 .....	2- معادله گراس- پیتاوسکی 3-2
66 .....	3- اتم‌ها با چه قدرتی برهم‌کنش می‌کنند؟ 3-2
68 .....	3- توزیع تکانه و چگالی حالات در حضور پتانسیل هارمونیک 3-3
69 .....	4- حالت پایه برای بوزون‌های به دام افتاده 3-4
71 .....	1- محاسبه‌ی وردشی 3-4
74 .....	2- تقریب توماس- فرمی 3-4

## فصل چهارم

77 .....	چگاله‌های بوز-اینشتین در شبکه‌های اپتیکی
77 .....	1- شبکه‌های اپتیکی
80 .....	2- ساختار شبکه‌های اپتیکی
84 .....	3- نظریه‌ی باند
87 .....	4- گذار از ابرشاره به نارسانای مات
87 .....	4- 5- نوسانات بلاخ و شکست لاندائو-زنر
90	مراجع

# فصل اول

## چگالش بوز-اینشتین

پیش‌بینی چگالش بوز-اینشتین به سال 1925 بر می‌گردد. در این سال به دنبال کار بوز<sup>۱</sup> فیزیکدان هندی، روی آمار فوتون‌ها، اینشتین<sup>۲</sup> ایده‌ی آماری بوز را به بوزون‌های جرم‌دار بدون برهم‌کنش تعمیم داد، که نتیجه‌ی آن آمار بوز-اینشتین بود [۱] سپس اینشتین از این آمار نتیجه گرفت که زیر دمای خاصی، کسری متناهی از تعداد کل ذرات سامانه، پائین‌ترین حالت ذره‌ای را پر می‌کنند که به این پدیده چگالش بوز-اینشتین یا به اختصار BEC گفته می‌شود.

---

S. N. Bose<sup>۱</sup>  
A. Einstein<sup>۲</sup>

این پیش‌بینی حتی توسط خود اینشتین جدی گرفته نشد تا این که در سال 1938 فریتلاندن<sup>۱</sup> از آزمایشات ابرشاره هلیوم چهار ( $He^4$ ) مایع باخبر شد. با توجه به بوزون بودن هلیوم چهار و این حقیقت که دمای گذاری که از نظریه‌ی اینشتین برای چگالش به دست می‌آید نزدیک دمای مشاهده شده برای گذار هلیوم مایع بود، لاندن ارتباط بین ابرشاره هلیوم مایع و چگالش بوز - اینشتین را پیشنهاد کرد [2].

در سال 1959 هشت<sup>۲</sup> نشان داد که هیدروژن اسپین - قطبیده نماینده خوبی برای گاز بوزونی با برهم‌کنش ضعیف است، چون برهم‌کنش جاذبه بین دو اتم هیدروژن که اسپین آن‌ها هم خط شده‌اند، خیلی ضعیف است و نمی‌توانند با هم حالت مقید تشکیل دهند، هم چنین این اتم‌ها به خاطر سبک بودن‌شان مورد توجه قرار گرفتند [3]. سرانجام پس از دو دهه کار آزمایشگاهی، چگالش بوز - اینشتین اتم‌های هیدروژن در سال 1998 به دست آمد. چگاله برای گازهای اتمی رفیق، اولین بار پس از گذشت 70 سال از پیش بینی اینشتین به صورت تجربی برای تقریبا 2000 اتم  $Rb^{87}$  توسط کرنل<sup>۳</sup> و ویمن<sup>۴</sup> در ۵ ژوئن 1995 در JILA<sup>۵</sup> به دست آمد که دمای گذار 170 نانوکلوین بود [4]. ۴ ماه بعد برای اتم‌های سدیم، توسط کترلی<sup>۶</sup> در دانشگاه MIT با موفقیت انجام شد [5]. چند ماه پس از آن برای اتم‌های  $Li^7$  هم چگالش مشاهده شد [6]. به خاطر این دستاوردها جایزه‌ی نوبل سال 2001 به این سه فیزیکدان تعلق گرفت.

یکی از مشکلات رسیدن به چگالش بوز - اینشتین، دمای گذار خیلی پایین برای اتم‌ها بود که با تکنولوژی آن زمان غیر قابل دسترس بود. در دهه 1980 تکنیک‌هایی مانند سرمایش لیزری و تله‌های معناطوط - اپتیکی برای به دام انداختن و سرد کردن اتم‌های خنثی گسترش یافت [7، 8]. البته سرد کردن به وسیله لیزر به تنها‌یی نمی‌تواند چگالی‌های به اندازه‌ی کافی بزرگ و دمای پایین برای چگاله ایجاد کند. برای تحقق این

---

F. London<sup>3</sup>  
C. E. Hecht<sup>1</sup>  
E. A. cornell<sup>2</sup>  
C. E. wieman<sup>3</sup>  
Joint Institute for Laboratory Astrophysics<sup>4</sup>  
W. Ketterle<sup>5</sup>

منظور روش سرمایش تبخیری پیشنهاد شد [7]. پس از سردازی تبخیری اتم‌ها در حدود 100 مرتبه از اتم‌هایی که به وسیله لیزر سرد شده‌اند، سردتر هستند.

با ترکیب سرمایش لیزری و تبخیری برای اتم‌های قلیایی، آزمایشگران سرانجام موفق به تولید دما و چگالی لازم برای چگالش بوز-اینشتین شدند. تله‌های مغناطیسی، گشتاور مغناطیسی بزرگی لازم دارند که در اتم‌هایی که الکترون جفت نشده دارند این خصیصه وجود دارد. با توجه به این که لیزرهای موجود در ناحیه‌ی مادون قرمز یا مرئی هستند، بسامد گذار اتم‌ها برای استفاده از سرمایش لیزری نیز، باید در این ناحیه باشد. اتم‌های قلیایی این دو خاصیت مهم را دارند، علاوه بر این طیف ساده و مطالعه شده‌ی اتم قلیایی برای سرمایش تبخیری آن‌ها را نماینده‌ی مناسبی برای تشکیل چگالش بوز-اینشتین کرده است. هم‌چنین در سرمایش تبخیری نیاز داریم که برخورددهای الاستیک انجام شود و چون سطح مقطع برخورد الاستیک این اتم‌ها خیلی بزرگ است برای چگالش بوز-اینشتین مناسب هستند [4,9].

چگالی میدان الکتریکی برای یک میدان لیزری به صورت موج ایستا، در فضا تناوبی است. به خاطر جابجایی اشтарک این تناوب منجر به اعمال پتانسیلی بر اتم می‌شود که نسبت به زمان متناوب است. این اصل فیزیکی پشتوانه‌ی تولید شبکه‌های اپتیکی شد که با برهمنهی تعداد متفاوتی از باریکه‌های لیزر می‌توان پتانسیل‌های یک، دو یا سه بعدی متناوب ایجاد کرد.

حدس این مطلب که امواج ایستای نوری ممکن است برای محدود کردن حرکت اتم‌ها استفاده شوند به سال 1968 بر می‌گردد و توسط لتخوف<sup>۱</sup> پیشنهاد شد [10]. و اولین مشاهده‌ی آزمایشگاهی شبکه‌ی اپتیکی در سال 1987 برای گازی کلاسیکی از اتم‌های سدیم انجام شد [11].

حال این سوال پیش می‌آید که چرا می‌خواهیم چگاله را در شبکه‌ی اپتیکی مطالعه کنیم؟ از دو منظر به این سوال می‌توان نگاه کرد. چرا چگاله و چرا شبکه‌های اپتیکی؟ چه تفاوتی بین قرار دادن اتم‌های فوق سرد و

چگاله‌ها در شبکه‌های اپتیکی وجود دارد؟ دما و چگالی اتم‌های فوق سرد و چگاله‌ها به طور قابل ملاحظه‌ای

با هم متفاوت است. برای اتم‌های سرد، دما در محدوده‌ی میکروکلوین و چگالی‌ها در حدود  $10^{10} \text{ cm}^{-3}$

است، در عوض برای چگاله‌ها مقادیر نوعی از مرتبه‌ی 10 تا  $100 \text{ نانوکلوین}$  برای دما و  $10^{13} \text{ cm}^{-3}$  یا بیشتر

برای چگالی است. این اختلاف در مرتبه‌ی بزرگی پارامترهای فیزیکی چندین نتیجه دارد. اول این که

دماهای پائین‌تر بدین معناست که چگاله معمولاً در ترازهای پائین‌تر انرژی شبکه خواهد بود بدون این که

نیازی به سرد کردن باشد. دوم این که چگالی‌های بالاتر باعث افزایش ضریب انباشتگی شبکه می‌شود که

می‌تواند از  $10^3$  در اتم‌های سرد تا 1 در چگاله، افزایش یابد. سوم این که چگالی‌های بالاتر باعث می‌شوند

برهم‌کنش‌های بین اتمی مهم شوند. از جمله‌ی این اثرات که در شبکه‌های اپتیکی دیده می‌شوند نوسانات

بالاخ و تونل زنی لانداؤ-زنر هستند. بنابراین قراردادن چگاله‌ها در شبکه‌های اپتیکی بیشتر از اتم‌های فوق

سرد منجر به دست‌یابی به فیزیک پدیده‌های غیر خطی می‌شود [12].

حال به جنبه‌ی دوم سوال می‌پردازیم. چرا شبکه‌های اپتیکی؟ ساده‌ترین جوابی که به ذهن می‌رسد این است

که (1) یک مقیاس طولی جدید (طول شبکه) را به سامانه معرفی می‌کند که از مرتبه‌ی میکرون است. (2)

بحث تناوب مطرح می‌شود در صورتی که قبل از آن فقط هارمونیک بودن مطرح بود. مقیاس طولی جدید

بسامدهای موضعی خیلی بزرگ تله را ایجاد می‌کند که این حد از عمق تله ممکن است چگاله‌هایی که

برهم‌کنش ندارند یا برهم‌کنش ضعیف دارند را کاملاً ایزوله کند. از طرف دیگر، تناوبی بودن ممکن است

مطالعه‌ی مدل‌های اصلی رایج در فیزیک ماده‌ی چگال، مانند مدل بوز-هبارد<sup>۱</sup>، را که گذار فاز کوانتوسومی

از حالت ابر شاره به نارسانای مات را پیش‌بینی می‌کند آسان سازد.

---

Bose – Hubbard model<sup>1</sup>

در این بخش رفتار فیزیکی سامانه‌هایی را بررسی می‌کنیم که با وجود ناچیز بودن برهم‌کنش بین اتمی، اثرات کوانتمی نقش مهمی را ایفا می‌کنند. بدین معنا که دما و چگالی سامانه از حد معینی تجاوز نمی‌کنند.

$$n\lambda^3 \equiv \frac{n\hbar^3}{(2\pi mkT)^{3/2}} \ll 1$$

که در آن  $\lambda$  طول موج دمایی میانگین است. در حد  $\rightarrow 0$  همه کمیات فیزیکی به مقدار کلاسیکی شان میل می‌کنند. در مقادیر کوچک  $n\lambda^3$  کمیت‌ها به صورت سری توانی بر حسب این پارامتر بسط داده می‌شوند. وقتی  $n\lambda^3$  از مرتبه ۱ می‌شود، رفتار سامانه به طرز قابل توجهی متفاوت از حالت کلاسیکی است و اثرات کوانتمی را نشان می‌دهد. در ادامه، دمای گذار چگالش و کسر چگاله را برای ذرات بدون برهم‌کنش و برای بوزون‌ها در حضور پتانسیل خارجی توانی محاسبه می‌کنیم. بررسی چگالش در ابعاد پایین‌تر از دیگر مباحث این فصل است.

## 1-1 سامانه بوزونی ایده آل

در تعادل ترمودینامیکی عدد اشغال میانگین یک حالت تک ذره‌ای در توزیع بوزونی به صورت زیر است

$$\langle n(\varepsilon) \rangle = \frac{1}{e^{\frac{(\varepsilon - \mu)}{kT}} - 1} \quad (1)$$

که در آن  $\varepsilon$  انرژی حالت تک ذره‌ای و  $\mu$  پتانسیل شیمیایی سامانه است. در آنسامبل کانونی بزرگ<sup>۱</sup> با استفاده ازتابع پارش، پتانسیل  $q$  و تعداد ذرات سامانه به ترتیب از روابط زیر به دست می‌آیند

$$\frac{PV}{kT} \equiv q = L n Z = - \sum_{\varepsilon} L n (1 - z e^{-\beta \varepsilon}) \quad (2)$$

$$N \equiv \sum_{\varepsilon} \langle n(\varepsilon) \rangle = \sum_{\varepsilon} \frac{1}{z^{-1} e^{\beta \varepsilon} - 1} \quad (3)$$

---

Grand Canonical Ensemble<sup>1</sup>

$$Z \equiv \exp\left(\frac{\mu}{kT}\right) \text{ گریزندگی سامانه است.}$$

هنگام محاسبه کمیات ترمودینامیکی گازها در حجم بالا، مرسوم است که مجموع روی حالت‌ها را به انتگرال تبدیل کرده و از چگالی حالت استفاده می‌کنند. این تعویض مجموع با انتگرال، تنها در صورتی که انرژی گرمایی  $kT$  خیلی بزرگتر از فاصله‌ی بین ترازهای انرژی تک ذره‌ای باشد درست است. یعنی

$$\epsilon_{n+1} - \epsilon_n >> kT . \quad \text{چگالی حالت‌هایی که انرژی شان بین } \epsilon \text{ و } \epsilon + d\epsilon \text{ است را این طور می‌نویسیم}$$

$$a(\epsilon) d\epsilon = \left(\frac{2\pi V}{\hbar^3}\right) (2m)^{\frac{3}{2}} \epsilon^{\frac{1}{2}} d\epsilon$$

با جایگذاری این عبارت در انتگرال وزن صفری را به تراز انرژی  $\epsilon = 0$  نسبت می‌دهیم که درست نیست، زیرا از دید کوانتم مکانیک به هر حالت تک ذره‌ای غیرتبهگن باید وزن آماری واحدی را نسبت داد، بنابراین سهم انرژی صفر از انتگرال بیرون خواهد آمد

$$\frac{P}{kT} = -\frac{2\pi}{\hbar^3} (2m)^{\frac{3}{2}} \int_0^\infty \epsilon^{\frac{1}{2}} \ln(1 - ze^{-\beta\epsilon}) d\epsilon - \frac{1}{V} \ln(1 - z) \quad (4)$$

$$\frac{N}{V} = \frac{2\pi}{\hbar^3} (2m)^{\frac{3}{2}} \int_0^\infty \frac{\epsilon^{\frac{1}{2}} d\epsilon}{z^{-1} e^{\beta\epsilon} - 1} + \frac{1}{V} \frac{z}{1 - z} \quad (5)$$

جملات  $(z)$  در حد  $1 << z$  از مرتبه  $\frac{1}{N}$  هستند و می‌توان از آن‌ها صرف نظر کرد.

با نزدیک شدن  $Z$  به عدد یک جمله‌ی  $\frac{1}{V} \frac{z}{1 - z}$  که برابر است با  $\frac{N_0}{V}$  تعداد ذراتی است که در

حالت پایه  $\epsilon = 0$  قرار دارند) در مقایسه با  $\frac{N}{V}$  مهم می‌شود؛ یعنی سهم کثیری از ذرات در حالت پایه هستند

که این همان چگالش بوز-اینشتین است. با چنین تعریفی از  $N_0$ ، جمله‌ی دوم در معادله (5) به ازای همه‌ی مقادیر  $Z$  قابل چشم‌پوشی است.

$$\text{در ادامه با تغییر متغیر } \beta\epsilon = x \text{ و اعمال نتایج فوق در معادلات (4) و (5)، داریم}$$

$$\frac{P}{kT} = -\frac{2\pi}{h^3} (2mkT)^{\frac{3}{2}} \int_0^\infty x^{\frac{1}{2}} \ln(1 - ze^{-x}) dx = \frac{1}{\lambda^3} g_{\frac{3}{2}}(z) \quad (6)$$

$$\frac{N - N_0}{V} = \frac{2\pi}{h^3} (2mkT)^{\frac{3}{2}} \int_0^\infty \frac{x^{\frac{1}{2}} dx}{z^{-1} e^x - 1} = \frac{1}{\lambda^3} g_{\frac{5}{2}}(z) \quad (7)$$

(z) تابع بوز-اینشتین است که به صورت زیر تعریف می‌شود

$$g_v(z) = \frac{1}{\Gamma(v)} \int_0^\infty \frac{x^{v-1}}{z^{-1} e^x - 1} dx = z + \frac{z^2}{2^v} + \frac{z^3}{3^v} + \dots$$

### 1-1-1 دمای گذار و کسر چگاله

از رابطه‌ی به دست آمده برای تعداد کل ذرات سامانه، معادله‌ای برای  $N_e$  تعداد ذرات در حالت برانگیخته

استخراج می‌کنیم ( $\epsilon \neq 0$ )

$$N - N_0 = N_e = V \frac{(2\pi n k T)^{\frac{3}{2}}}{h^3} g_{\frac{3}{2}}(z) \quad (8)$$

در محدوده‌ی  $0 \leq z \leq 1$  بیشترین مقدار تابع بوز-اینشتین  $g_{\frac{3}{2}}(z)$  را با قرار دادن  $z = 1$  می‌توان بدست

آورد

$$g_{\frac{3}{2}}(1) = g_{\max} = 1 + \frac{1}{2^{\frac{3}{2}}} + \frac{1}{3^{\frac{3}{2}}} + \dots \equiv \zeta(\frac{3}{2}) \approx 2.612$$

که در آن  $\zeta$  تابع ریمان است. پس برای همه‌ی مقادیر  $Z$  داریم:  $g_{\frac{3}{2}}(z) \leq \zeta(\frac{3}{2})$ . طبق رابطه (8) بیشترین

تعداد ذرات یا اتم‌هایی که می‌توانند در حالت برانگیخته قرار گیرند محدود می‌شوند به

$$N_e \leq \frac{V}{h^3} (2mkT)^{\frac{3}{2}} \zeta(\frac{3}{2}) \quad (9)$$

بنابر رابطه بالا اگر تعداد ذرات کل سامانه از این مقدار کمتر باشد، ذرات در حالت برانگیخته‌ی سامانه قرار

می‌گیرند و  $N_e \sim N$ .

حال اگر تعداد کل ذرات سامانه افزایش یابد حالت‌های برانگیخته می‌توانند تا مقدار ذکر شده در (9) را در خود جای دهند و بقیه ذرات در تراز  $0 = \epsilon$  قرار خواهند گرفت که همان پدیده چگالش بوز-اینشتین است و تعداد کل آن‌ها با رابطه زیر داده می‌شود

$$N_o = N - N_e = N - \frac{V}{\hbar^3} (2mkT)^{\frac{3}{2}} \zeta(\frac{3}{2}) \quad (10)$$

در حالت کلی شرط آغاز چگالش بوز-اینشتین را می‌توان این‌گونه نوشت

$$N > VT^{\frac{3}{2}} \frac{(2\pi n k)^{\frac{3}{2}}}{\hbar^3} \zeta(\frac{3}{2}) \quad (11)$$

اکنون اگر تعداد ذرات و حجم سامانه ثابت بماند و  $T$  متغیر باشد داریم

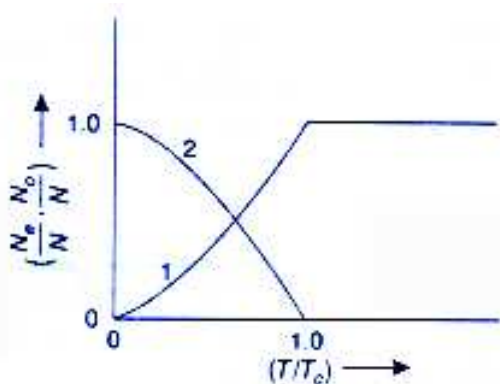
$$T < T_c = \frac{\hbar^2}{2\pi n k} \left\{ \frac{N}{V \zeta(\frac{3}{2})} \right\}^{\frac{2}{3}} \quad (12)$$

دماهای بحرانی سامانه است که به  $m$  و چگالی ذرات سامانه  $\left( \frac{N}{V} \right)$  بستگی دارد و در دماهای پایین‌تر از آن اتم‌ها

به حالت پایه ریزش می‌کنند و چگالش اتفاق می‌افتد. در حد  $T_c$  سامانه ترکیبی از دو فاز متفاوت است

1- فاز نرمال، شامل  $N_e \{ = N \left( \frac{T}{T_c} \right)^{\frac{3}{2}}$  ذره که روی حالت‌های برانگیخته توزیع شده‌اند.

2- فاز چگاله: شامل  $N_o \{ = N - N_e$  ذره که در حالت پایه تجمع کرده‌اند.



شکل (1-1): نسبت تعداد اتم های فاز نرمال (1) و فاز چگاله (2) به تعداد کل اتم ها بر حسب پارامتر دما در

گاز بوزونی ایدهآل [13و14]

شکل (1-1) نمودار مربوط به  $\frac{N_o}{N}$  و  $\frac{N_e}{N}$  را نشان می دهد. با توجه به شکل، در ناحیه  $>1$  یعنی در

دهماهای بالاتر از دمای بحرانی فقط فاز نرمال وجود دارد. در این حالت تعداد ذرات در حالت پایه

یعنی  $\frac{\zeta}{1-\zeta}$  از مرتبه واحد است که به طور کلی در مقایسه با تعداد کل ذرات ناچیز است. رابطه‌ی زیر را

می‌توان برای نسبت تعداد اتم‌های حالت پایه به تعداد کل اتم‌ها نوشت

$$\frac{N_o}{N} = 1 - \left(\frac{T}{T_c}\right)^{\frac{3}{2}}$$

همان طور که از این رابطه پیداست هر چه دما از مقدار صفر به  $T_c$  نزدیک‌تر می‌شود تعداد ذرات در حالت

پایه یا همان ذرات چگاله کاهش می‌یابد.

## 1-2 پتانسیل نوسانگر هماهنگ سه بعدی

در فضای فاز سه بعدی هر حالت انرژی حجم  $\hbar^3$  را اشغال می‌کند [13و14]. حال اگر کره‌ای به شعاع  $p$  را

در این فضا فرض کنیم و بخواهیم تمام ذراتی را که اندازه حرکت‌شان کمتر از  $p$  باشد را حساب کنیم باید

تمام حجم این کره را در نظر بگیریم تا بتوانیم  $G(\varepsilon)$ ، تعداد کل حالت‌هایی که انرژی‌شان کمتر از  $\varepsilon$  است،

را به دست آوریم

$$G(\varepsilon) = \frac{V}{\hbar^3} \frac{4\pi}{3} p^3 = V \left( \frac{4\pi}{3} \right) \frac{(2m\varepsilon)^{3/2}}{(2\pi\hbar)^3} = V \frac{\sqrt{2}(m\varepsilon)^{3/2}}{3\pi^2\hbar^3} \quad (13)$$

$$\varepsilon = p^2 / 2m$$

برای به دست آوردن  $g(\varepsilon)$  چگالی حالت‌هایی که انرژی‌شان بین  $\varepsilon$  و  $d\varepsilon + d\varepsilon$  است، باید از  $G(\varepsilon)$  نسبت به  $\varepsilon$

مشتق گرفت

$$g(\varepsilon) = \frac{dG(\varepsilon)}{d\varepsilon} = \frac{V}{\sqrt{2}} \frac{m^{3/2}}{\pi^2 \hbar^3} \varepsilon^{1/2} \quad (14)$$

از این معادله می‌توان به رابطه‌ای برای چگالی حالت‌ها در  $d$  بعد به صورت  $(\varepsilon^2)^{\frac{d-1}{2}}$  رسید که برای ذرات محبوس در یک جعبه به حجم  $V$ ،  $d=3$  است.

حال فرض کنید این ذرات در یک پتانسیل هماهنگ سه بعدی به صورت زیر قرار داشته باشند

$$\begin{cases} V(r) = \frac{1}{2}(k_1 x^2 + k_2 y^2 + k_3 z^2) \\ V(r) = \frac{1}{2}m(\omega_1 x^2 + \omega_2 y^2 + \omega_3 z^2) \quad \omega_i^2 = \frac{k_i}{m} \\ \varepsilon(n_1, n_2, n_3) = (n_1 + \frac{1}{2})\hbar\omega_1 + (n_2 + \frac{1}{2})\hbar\omega_2 + (n_3 + \frac{1}{2})\hbar\omega_3 \end{cases} \quad (15)$$

$\varepsilon$  انرژی حالت دسترس پذیر سیستم است.

باید تعداد حالت‌های انرژی را، که انرژی‌شان کمتر از  $\varepsilon$  باشد، حساب کنیم. ابتدا یک دستگاه مختصات جدید را که دارای محورهای  $\varepsilon_1$ ,  $\varepsilon_2$  و  $\varepsilon_3$  است و حالت‌ها به سطح انرژی  $\varepsilon = \varepsilon_1 + \varepsilon_2 + \varepsilon_3$  محدودند

انتخاب می‌کنیم

$$\begin{cases} G(\varepsilon) = \frac{1}{\hbar^3 \omega_1 \omega_2 \omega_3} \int_0^\varepsilon d\varepsilon_1 \int_0^{\varepsilon - \varepsilon_1} d\varepsilon_2 \int_0^{\varepsilon - \varepsilon_1 - \varepsilon_2} d\varepsilon_3 \\ \varepsilon_i = \hbar\omega_i n_i \end{cases} \Rightarrow G(\varepsilon) = \frac{\varepsilon^3}{6\hbar^3 \omega_1 \omega_2 \omega_3} \quad (16)$$

در محاسبه‌ی انتگرال بالا از صفر انرژی حالت صرف نظر شده است. همچنین چون اختلاف هر دو تراز انرژی روی محورهای تعریف شده  $\hbar\omega_i$  است پس فضایی که یک تراز در کل اشغال می‌کند نوسانگر سه بعدی به صورت زیر پیدا کرد

$$g(\varepsilon) = \frac{dG(\varepsilon)}{d\varepsilon} = \frac{\varepsilon^2}{2\hbar^3\omega_1\omega_2\omega_3} \quad (17)$$

رابطه‌ی (17) را برای یک نوسانگر هماهنگ  $d$  بعدی تعمیم می‌دهیم و معادله‌ی زیر را به دست می‌آوریم

$$g(\varepsilon) = \frac{\varepsilon^{d-1}}{(d-1)! \prod_{i=1}^d h\omega_i} \quad (18)$$

در حالت کلی می‌توان چگالی حالت سامانه‌های مختلف را به صورت  $g(\varepsilon) = c_\alpha \varepsilon^{(\alpha-1)}$  نوشت که در گاز محبوس در حجم  $V$ ،  $\alpha = 3/2$  و برای نوسانگر سه بعدی  $\alpha = 3$  است.

## 1-2-1 دمای گذار و سهم چگالش

اگر  $N$  تعداد ذرات کل سامانه به اندازه‌ی کافی بزرگ باشد می‌توان در انرژی کل نوسانگر هماهنگ از صفر انرژی چشم‌پوشی کرد و آن را به شکل  $n_i \hbar \omega_i = n_i \varepsilon$  در نظر گرفت. تعداد کل ذرات در حالت‌های برانگیخته  $N_{ex}$  با استفاده از توزیع ذرات  $f(\varepsilon)$  و چگالی حالت‌های انرژی  $g(\varepsilon)$  به شکل زیر محاسبه می‌شود

$$N_{ex} = \int_0^\infty d\varepsilon g(\varepsilon) f(\varepsilon) \quad (19)$$

وقتی بیشینه می‌شود که  $\mu = 0$  باشد، دمای مربوط به حالت همان دمای گذار است که در بالا ذکر شد و به صورت زیر می‌توان آن را بدست آورد

$$\begin{cases} N = N_{ex}(T_c, \mu = 0) = \int_0^\infty d\varepsilon \frac{1}{e^{\varepsilon/kT_c} - 1}, & g(\varepsilon) = c_\alpha \varepsilon^{\alpha-1} \\ N = C_\alpha \int_0^\infty d\varepsilon \frac{\varepsilon^{\alpha-1}}{e^{\varepsilon/kT_c} - 1} = C_\alpha (kT_c)^\alpha \int_0^\infty dx \frac{x^{\alpha-1}}{e^x - 1} \\ x = \frac{\varepsilon}{kT_c} \end{cases} \quad (20)$$

با تعریف توابع گاما و زیمان می‌توان به تعداد ذرات در دمای گذار و در نتیجه به دمای گذار بر حسب این

تعداد ذرات دست یافت

$$\begin{cases} N = C_\alpha \Gamma(\alpha) \zeta(\alpha) (kT_c)^\alpha \Rightarrow kT_c = \frac{N^{\frac{1}{\alpha}}}{[c_a \Gamma(\alpha) \zeta(\alpha)]^{1/\alpha}} \\ \Gamma(\alpha) = \int_0^\infty dx x^{\alpha-1} e^{-x}, \quad \zeta(\alpha) = \sum_{n=0}^\infty n^{-\alpha} \end{cases} \quad (21)$$

با قرار دادن  $\alpha = 3$  دمای گذار را برای سامانه نوسانگر هماهنگ سه بعدی به دست می‌آوریم

$$\begin{cases} kT_c = \frac{\hbar \bar{\omega} N^{1/3}}{[\zeta(3)]^{1/3}} \approx 0.94 \hbar \bar{\omega} N^{1/3} \\ \bar{\omega} = (\omega_1 \omega_2 \omega_3)^{1/3} \quad , \quad \Gamma(3) = 3\Gamma(2) = 3 \times 1 = 3 \end{cases} \quad (22)$$

$\bar{\omega}$  چگالی فضای فاز نامیده می‌شود که برابر است با مقدار ذراتی که در حجم یک مکعب که طول اضلاع

آن برابر با طول موج گرمایی  $\lambda_T$  است قرار دارد

$$\lambda_T^3 = \left( \frac{2\pi\hbar^2}{mkT} \right)^{3/2} \Rightarrow \bar{\omega} = n \times \lambda_T^3 = n \left( \frac{2\pi\hbar^2}{mkT} \right)^{3/2}$$

نسبت چگاله برای نوسانگر هماهنگ سه بعدی را نیز به دست می‌آوریم

(23)

$$\begin{cases} N_{ex}(T) = c_\alpha \int_0^\infty d\varepsilon \varepsilon^{\alpha-1} \frac{1}{e^{\varepsilon/kT} - 1} = c_\alpha \Gamma(\alpha) \zeta(\alpha) (kT)^\alpha \\ N_{ex} = V \left( \frac{T}{T_c} \right)^\alpha \quad N_0 = N - N_{ex}(T) = N \left[ 1 - \left( \frac{T}{T_c} \right)^\alpha \right] \\ kT_c = \frac{N^{1/\alpha}}{[c_\alpha \Gamma(\alpha) \zeta(\alpha)]^{1/\alpha}} \\ N_0 = N \left[ 1 - \left( \frac{T}{T_c} \right)^3 \right] \quad \alpha = 3 \end{cases}$$

### 3- چگالهی بوز-اینشتین در پتانسیل توانی

در این بخش دمای بحرانی برای چگالش، کسر چگاله و ظرفیت گرمایی ذرات بوزونی مقید در پتانسیل توانی را به دست می‌آوریم و نشان می‌دهیم که نتایج قسمت قبل برای کسر چگاله و دمای گذار حالت خاصی از این نتایج کلی ترند [15و16]. در پتانسیل‌هایی که در اینجا در نظر می‌گیریم فاصله‌ی ترازهای انرژی به گونه‌ای است که  $\epsilon_i - \epsilon_{i+1} >> k_B T$ . حجم بین سطوح انرژی  $\epsilon$  و  $\epsilon + d\epsilon$  در فضای فاز متناسب با تعداد حالت‌ها در این بازه است که با پتانسیل خارجی  $V(\vec{r})$ ، فضای قابل دسترس سامانه را مشخص می‌کند.

پس چگالی حالت‌ها را می‌توان نوشت

$$g(\epsilon) = \frac{2\pi(2m)^{\frac{3}{2}}}{\hbar^3} \int_{v^*} \sqrt{\epsilon - V(\vec{r})} d^3\vec{r} \quad (24)$$

که  $v^*$  فضای قابل دسترس برای ذرات با انرژی  $\epsilon$  است. با تبدیل جمع به انتگرال در معادله‌ی  $N = \sum_n f(\epsilon_n) = \sum_n \frac{1}{e^{(\epsilon_n - \mu)/k_B T} - 1}$  به دست می‌آید

$$N = N_0 + \int_0^\infty g(\epsilon) f(\epsilon) d\epsilon \quad (25)$$

و انرژی کل سامانه با انتگرال زیر داده می‌شود

$$E(T) = \int_0^\infty \epsilon g(\epsilon) f(\epsilon) d\epsilon \quad (26)$$

با استفاده از رابطه‌ی انرژی، ظرفیت گرمایی ویژه  $C(T) = \frac{\partial E(T)}{\partial T}$  را می‌توان به صورت زیر نوشت

$$C(T) = \frac{1}{K_B T} \int_0^\epsilon g(\epsilon) (f(\epsilon))^2 [\mu'' + \frac{\epsilon - \mu}{T}] e^{(\epsilon - \mu)/K_B T} d\epsilon. \quad (27)$$

برای محاسبه‌ی  $C(T)$  و  $E(T)$  به عبارت صریحی از پتانسیل شیمیایی نیاز داریم.

پتانسیل توانی کلی زیر را با قدرت ( $\epsilon_3 > \epsilon_2 > \epsilon_1$ ) و طول‌های مشخصه  $a, b, c$  در نظر بگیرید [15و16].